

KROMİT KONSANTRASYON TESİSİ ARTIKLARINDAN MAGNEZYUM SÜLFAT ($MgSO_4$) SENTEZİ

MAGNESIUM SULPHATE ($MgSO_4$) SYNTHESIS FROM CHROMITE CONCENTRATION PLANT TAILINGS

Soner TOP*

Mehmet YILDIRIM**

ÖZET

Bu çalışmada, kromit artığının liç çözeltisinden magnezyum sülfat ($MgSO_4$) sentezlenmesi araştırılmıştır. Öğütmenin ardından, tek aşamalı yüksek alan şiddetli yaş manyetik ayırma ile kromitin (Cr_2O_3) %62,18'i, demir oksitin (Fe_2O_3) %20,13'ü ve mangan oksit (MnO) içeriğinin ise %62,88'i uzaklaştırılmıştır. Manyetik olmayan kısımdaki magnezyumu kazanmak amacıyla, sülfürik asit (H_2SO_4) ile liç işlemleri gerçekleştirilmiş ve katı/sıvı ayırımı ile liç çözeltisi, çözünmeyen katı kısımdan ayrılmıştır. Optimum liç koşullarında yan ürün olarak katı fazda %95,75 SiO_2 tenörüne sahip amorf kuvarsın elde edildiği kimyasal analiz ve XRD analizi sonuçlarından saptanmıştır. Liç çözeltisinin pH'sı magnezyum hidroksit ($Mg(OH)_2$) ile artırılarak magnezyum dışında liç çözeltisine geçen safsızlıklar çöktürülmüş ve saflaştırılmış magnezyum sülfat çözeltisi katı/sıvı ayırımı ile kazanılmıştır. XRF ve XRD analizleri ışığında, 90-100 °C'de kontrollü ısıtma ile saflaştırılmış magnezyum sülfat çözeltisinden epsomit mineralinin ($MgSO_4 \cdot 7H_2O$) sentezlendiği belirlenmiştir.

Anahtar Kelimeler: Magnezyum Sülfat, Saflaştırılmış Magnezyum Sülfat Çözeltisi, Amorf Kuvars, Manyetik Ayırma.

ABSTRACT

In this study, magnesium sulphate ($MgSO_4$) synthesis from the leach solution of chromite tailings was researched. After grinding, 62,18% of the chromite (Cr_2O_3), 20,13% of the iron oxide (Fe_2O_3) and 62,88% of the manganese oxide (MnO) were removed by single-stage high intensity wet magnetic separation. In order to extract magnesium content in non-magnetic phase, tailings were leached with sulphuric acid (H_2SO_4) and the leach solution were separated from the residuals which cannot dissolve by filtration. It was detected that solid phase obtained as by-product at optimum conditions was amorphous quartz with 95,75% SiO_2 grade by chemical and XRD analyses. The impurities passing through to the leach solution were precipitated by upgrading the solution pH with magnesium hydroxide ($Mg(OH)_2$) and purified magnesium sulphate solution was obtained by solid/liquid separation. In the light of XRF and XRD analyses, it was determined that mineral epsomite ($MgSO_4 \cdot 7H_2O$) was synthesized from the purified magnesium sulphate solution by controlled heating at 90-100 °C.

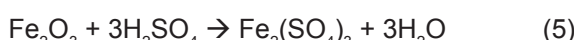
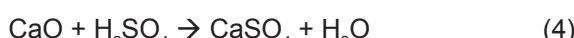
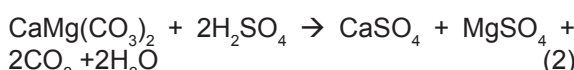
Key Words: Magnesium Sulphate, Purified Magnesium Sulphate Solution, Amorphous Quartz, Magnetic Separation.

* Arş. Gör., Çukurova Üniversitesi, Maden Mühendisliği Bölümü, ADANA, sonficyus@gmail.com

** Prof. Dr., Çukurova Üniversitesi, Maden Mühendisliği Bölümü, ADANA

GİRİŞ

Magnezyum sülfat, tarım, sağlık ve malzeme endüstrisinin ana hammaddelerinden birisidir (Zengin vd, 2009; Neilsen and Neilsen, 2011; Abdelnabi vd, 2012; Hidjan ve Soejijono, 2012; Dijk vd, 2013). Magnezyum sülfatın en ekonomik üretim yöntemi, manyezit mineralinin ($MgCO_3$) sülfürik asit ile reaksiyonu sonucudur. Dolomit ($CaMg(CO_3)_2$), serpentin ($Mg_3OH_4Si_4O_{10}\cdot4H_2O$) ve talk ($Mg_3Si_4O_{10}(OH)_2$) gibi diğer magnezyum kaynağı minerallerden magnezyumun kazanımı, öztleme (liç) işlemi ile elde edilen çözeltiden sağlanmaktadır. 1 nolu eşitlikte manyezit, 2 nolu eşitlikte dolomit; 3, 4, 5, ve 6 nolu eşitliklerde ise magnezyum kaynağı olabilecek diğer cevherlerde sülfürik asit ile liç işlemi sırasında oluşan başlıca kimyasal reaksiyonlar görülmektedir.



Tüm proseslerde öztleme işleminden sonra elde edilen çözeltide istenmeyen demir, kalсиyum, mangan, alüminyum gibi elementlerin uzaklaştırılması için pH ayarlaması yapılmakta ve çözeltiler saflaştırıldıktan sonra kristalizasyon işlemeye uygun hale gelmektedir (Macintire, 1940; Brandenburg, 1943; Ballou ve Hanssen, 2000; Rashad ve Baioumy, 2005; Yıldırım ve Akarsu, 2010; Abou El-Leef vd, 2012).

Serpentin mineralleri; $Mg_3Si_2O_5(OH)_4$ ana çekirdeğine bağlı olarak benzer kompozisyonlarda bulunmakta olup, içeriği Mg, Fe ve Al oranlarına göre lizardit, krizotil ve antigorit minerallerini kapsamaktadır (Dietrich and Skinner, 1979). Kromit zenginleştirme tesislerinin temel artı içeriği olan serpentin minerallerinden de magnezyum elde edilebilmektedir. Serpentin minerallerinden magnezyum elde edilirken; kromit, manganit gibi safsızlıklar gravite veya manyetik ayırmaya gibi fizikal ayırm yöntemleriyle uzaklaştırılarak liç işlemi öncesi magnezyum içeriği artırılır. Bu işlemlerle elde edilebilecek kromit minerali, tesislerde yeniden değerlendirilebilecek tenörlere ulaşabilmektedir. Bu şekilde, fizikal ayırmayı takiben gerçekleştirilen liç aşamasında çözeltiye geçen ve uzaklaştırılması gereken safsızlıkların miktarları

da azaltılmaktadır. Liç aşamasında çözeltiye geçen başlıca safsızlıklar olan Fe, Cr, Mn, Al ve Ni iyonları Mg ve Ca iyonlarına kıyasla daha düşük pH'larda metal hidroksitler şeklinde çökelmekte ve katı/sıvı ayırmı ile magnezyumca zengin liç çözeltisinden uzaklaştırılmaktadır (Ballou ve Hanssen, 2000; Güney vd, 2001).

Liç işlemi sonucu elde edilen katının büyük çoğunluğu amorf kuvarstan oluşmaktadır. Saflığı %95'in üzerinde olan sentetik amorf silika (SiO_2) çeşitli uygulamalarda kullanılmaktadır. Sentetik amorf kuvars başlıca kauçuklarda, araç lastiklerinde ve çeşitli kompozitlerde, dolgu malzemesi ve güçlendirici olarak kullanım alanı bulmaktadır (Demyanova vd, 2009; Rimkevich vd, 2012; Top, 2014). Silisyum, 1958'de uzay endüstrisindeki uygulamalarдан bu yana güneş enerjisinden elektrik üretimini kapsayan fotovoltaik (PV) endüstrisinde temel malzeme olmuştur. PV levha üretiminde safsızlıkların ppb (milyarda bir) meritesinde olması gereğinden, SiO_2 içeren hammaddeler elektrik ark fırınlarına ve oradan metalurjik tenördeki silikonu gaz veya sıvı kimyasala (triklorosilan, silan vb.) dönüştüren saflaştırma ve gaz fazında indirgeme için çoklu distilasyon ünitelerine beslenir. Bu proseslerdeki temel sorun B (Bor) ve P (Fosfor) içeriğidir (Khattak vd, 2001; Xakalashe ve Tangstad, 2011).

Bu çalışmada, Adana/Aladağ kromit konsantrasyon tesisi açıklarından magnezyum sülfat kazanımı araştırılmıştır. Adana'daki önemli metalik madenlerden biri olan krom cevherleşmeleri Aladağ ilçesinde yoğunlaşmaktadır. Aladağ-Kızılıksek ve Yataardıç krom yatağında %5,37 Cr_2O_3 tenörlü 198.000.000 ton rezerv bulunmaktadır. Yörede, düşük tenörlü yüksek rezervlere sahip cevherleri işlemek için özel sektör tarafından tesisler kurulmuş ve sayıları günden güne artmaktadır (MTA, 2013). Bölgedeki kromit zenginleştirme tesislerinin 2004-2010 yılları arasındaki artık miktarları Çizelge 1'de verilmiştir. Artık miktarlarının her yıl arttığı görülmekte olup, son yıllarda çoğu şirketin tesis kapasitesini artırdığı ve birkaç yeni şirketin de bölgede faaliyetlere başladığı bilinmektedir. Şekil 1'de bölgenin en büyük kromit hazırlama tesisi sahip kuruluşunun sahip olduğu 2 şirketin son 10 yıla ait artık miktarları görülmektedir. Ortaya çıkan devasa artık miktarları göz önüne alındığında, boyutu küçültülmüş ve magnezyumca zengin böyle bir kaynağın değerlendirilmesi gerekliliği daha iyi anlaşılmaktadır.

1. MATERİYAL ve YÖNTEM

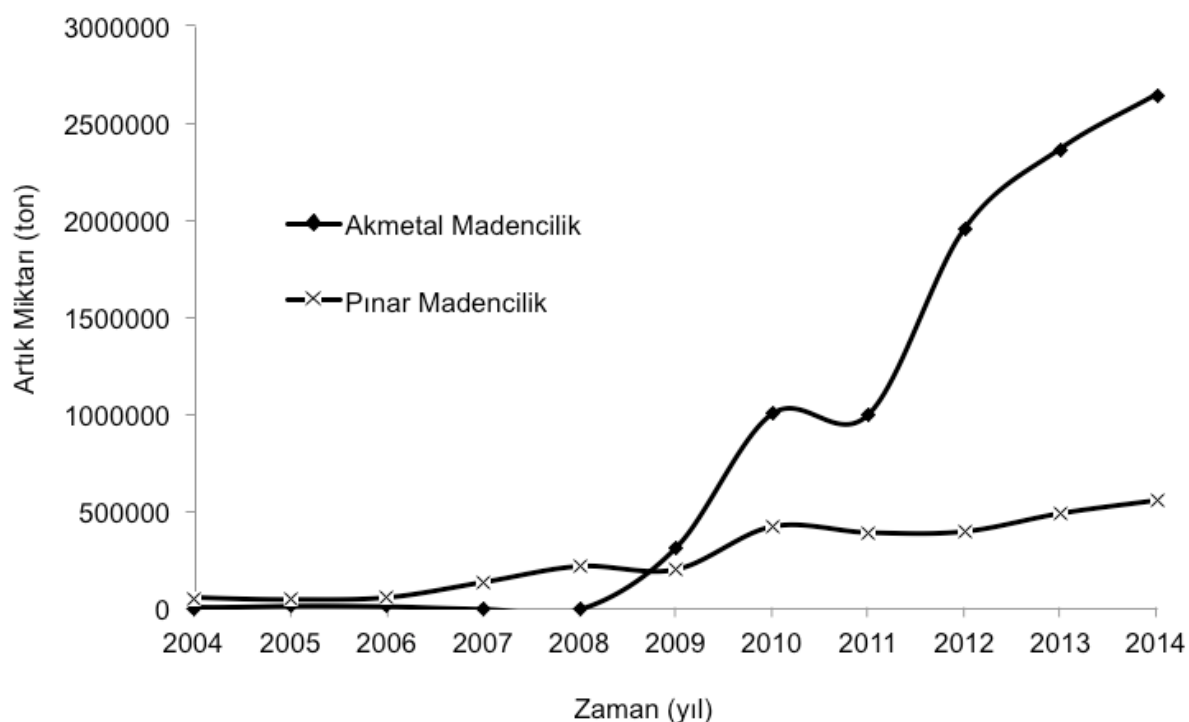
Adana'nın Aladağ İlçesi'ndeki kromit cevheri hazırlama tesislerinin en eskisi olan Pınar Madencilik Turizm A.Ş. ve şu anda en fazla kromit üretimi; dolayısıyla da en fazla kromit konsantrasyon tesisi artığı üreticisi olan Akmetal Madencilik Tic. Ltd. Şti.'ne ait artık sahaları numune alımı için uygun kaynak olarak belirlenmiştir. İri boyuttaki numune artık yığınlarından 1'er metre aralıklarla

yığının üst, yan yüzey ve eteklerinden alınarak biriktirilmiştir.

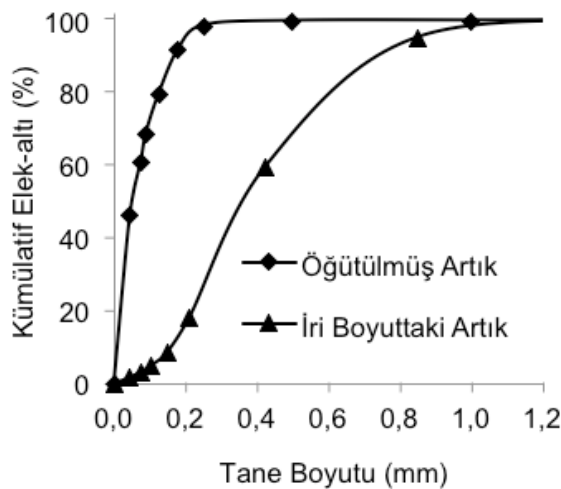
Numune azaltmanın ardından, iri boyuttaki artıklar; 500 g numune ve 11 kg çelik bilyadan oluşan öğütme ortamı kullanılarak, 72 dev/dk dönüş hızında ve 20 dakika boyunca kuru olarak öğütülmüş ve deneylerde kullanılmıştır. Öğütmeden önceki ve sonraki malzeme boyut dağılımı Şekil 2'de görülmektedir.

Çizelge 1. 2004-2010 Yılları Arası Aladağ'daki Kromit Konsantrasyon Tesislerinin Artık Miktarları (MİGEM, 2011).

Şirket İsmi	Yıllara Göre Artık Miktarı (ton)						
	2004	2005	2006	2007	2008	2009	2010
Akmetal	7103	20770	17923	4448	2632	320692	1008000
Pınar	58103	51390	62014	140841	222613	206442	426600
ÇVK	-	-	-	-	-	-	120000
Mikro	72005	57907	131196	87501	130855	114161	125502
Dedeman	1496	26725	4166	40189	82991	97793	62425
Çeltik	25223	11170	1290	4839	26669	9909	24054
Kartopu	4656	2585	893	46932	35830	-	-
Toplam	168586	170547	217482	324750	501590	748997	1766581



Şekil 1. Aladağ Bölgesi'nin En Önemli Kromit Üreticilerinin Son 10 Yıldaki Artık Miktarı.



Şekil 2. İri Artığın Öğütme Öncesi ve Sonrası Tane Boyut Dağılımı.

Kimyasal analiz sonucu belirlenen içerikler ve kızdırma kaybı değeri Çizelge 2'de gösterilmektedir. Bron vd (1967), serpantinleri zayıf, orta ve kuvvetli şekilde serpantinleşmiş olarak gruppermiştir. Bu sınıflamada kuvvetli serpantinleşmiş kayaçların kızdırma kaybının %15 değerinin üstünde olduğu belirtilmiştir. Deneysel çalışmada kullanılan artıkların kızdırma kaybı değerine bakıldığında, artıkların kuvvetli derecede serpantinleşmiş olduğu anlaşılmaktadır.

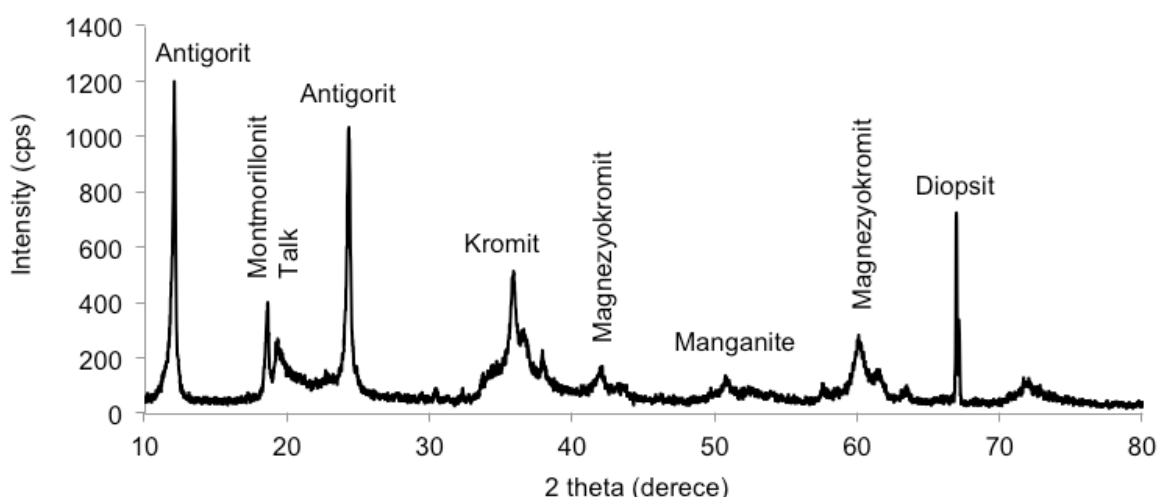
Rigaku Minflex II marka X-Ray difraktometre cihazı ile yapılan XRD analizi sonucunda iri artıkların antigorit ($(\text{Mg}, \text{Fe})_3\text{Si}_2\text{O}_5(\text{OH})_4$), kromit (FeCr_2O_4), magnezyokromit (MgCr_2O_4), diopsit ($\text{CaMgSi}_2\text{O}_6$), montmorillonit ($(\text{Na}, \text{Ca})_{0,3}(\text{Al}, \text{Mg})_2\text{Si}_4\text{O}_{10}(\text{OH})_2 \cdot n(\text{H}_2\text{O})$), talk ($\text{Mg}_3\text{Si}_4\text{O}_{10}(\text{OH})_2$) ve manganite ($\text{MnO} \cdot \text{OH}$) minerallerini içerdığı saptanmıştır (Şekil 3).

Çizelge 2. Deneysel Çalışmada Kullanılan Artığın Kimyasal Analiz Sonuçları.

Bileşen	%
SiO_2	38,53
MgO	31,02
Fe_2O_3	10,03
Cr_2O_3	3,20
Al_2O_3	0,72
CaO	0,49
MnO	0,36
NiO	0,07
Kızdırma Kaybı	15,58

Boyut küçültmenin ardından yüksek alan şiddetli yaş manyetik ayırcı yardımıyla artıklardaki manyetik kromit, demir ve mangan içerikleri azaltılmıştır. Manyetik olmayan fraksiyon öztleme işlemeye tabi tutulmuş ve elde edilen liç çözeltisindeki safsızlıklar $\text{Mg}(\text{OH})_2$ ilavesi ile liç çözeltisinin pH'sını yükseltileerek katı halde çözeltiden uzaklaştırılmıştır. Katı/sıvı ayrimının ardından saflaştırılmış magnezyum sülfat çözeltisinden kontrollü ısıtma ile magnezyum sülfat sentezlenmiştir (Şekil 4).

Manyetik ayırma işleminde L4-20 WHIMS Eriez yüksek alan şiddetli yaş manyetik ayırcı kullanılmıştır. Kimyasal analizler; EDTA yardımıyla damla titrasyon yöntemiyle veya Perkin Elmer PinAAcle 900 H marka atomik absorpsiyon



Şekil 3. Deneysel Çalışmada Kullanılan Malzemenin XRD Patterni.

spektrofotometresi kullanılarak yapılmıştır. XRF analizlerinde Minipal 4-Panalytical marka XRF cihazı kullanılmıştır. Tüm analizlerde analitik tencörde Merck, Sigma Aldrich, Alfa Aesar marka kimyasallar ve saf su kullanılırken; deneylerde yine aynı kimyasallar ile Çukurova Üniversitesi Mühendislik-Mimarlık Fakültesi Maden Mühendisliği Bölümü'ndeki musluk suyu kullanılmıştır. Tüm hesaplamalarda, musluk suyunda bulunan içerikler kimyasal analiz sonucu elde edilen değerlerden çıkarılmıştır. Böyle bir analiz yönteminin seçilmesinde, milyonlarca ton kromit kontrasyon tesisi artığının endüstriyel ölçekte bir magnezyum kazanım tesisi yatırımıyla değerlendirildiğinde böyle bir endüstriyel ölçekteki tesisste saf su kullanılamayacak olması gerçeği göz önünde bulundurulmuştur.

Manyetik ayırmaya ve liç deneylerinin dizaynında OFAT (one-factor-at-a-time) analizi tercih edilmiştir. Bu yöntemde diğer faktörler (değişkenler) sabit tutulurken; test edilen faktör için bir başlangıç noktası belirlenmekte ve bu faktörün değeri alt veya üst seviyelere yükseltilmekte veya azaltılmaktadır (Montgomery, 2009; Frey ve Wang, 2012). Manyetik ayırmada deneylerde manyetik alan şiddeti; liç deneylerinde liç sıcaklığı ve süresi, farklı seviyelerde değiştirilerek optimum deney koşulları belirlenmiştir.

2. BULGULAR

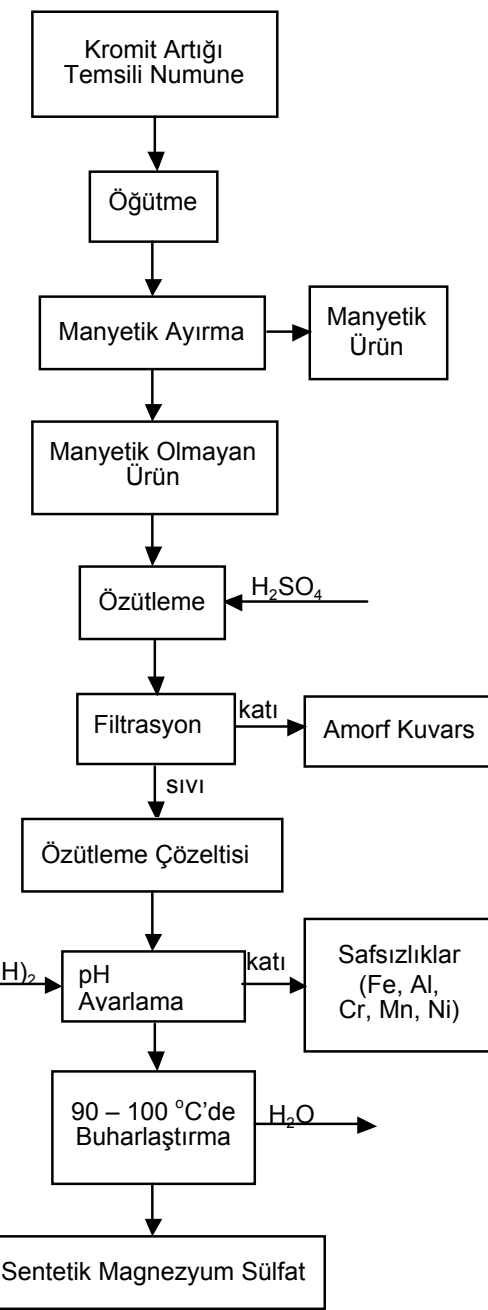
2.1. Manyetik Ayırma

Manyetik ayırmada deneylerde manyetik alan şiddeti manyetik ayırmaya etkisi araştırılmıştır (Şekil 5). 10 dakika karıştırma süresi, %20 katı oranı ve 500 dev/dk karıştırma hızı sabit parametreler olarak belirlenmiştir. Belirlenen şartlarda pülp hazırlandıktan sonra yüksek alan şiddetli yaş manyetik ayırcıya beslenmiş; manyetik olan ve olmayan kısımlar kurutularak tartsılmış ve analiz edilmiştir.

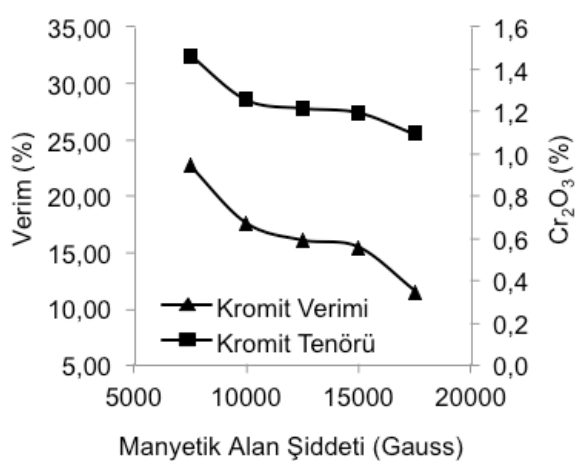
Liç işleminde manyetik olamayan kısım kullanılcagından manyetik olmayan fraksiyondaki manyetik alinganlığı yüksek içerikler ve özellikle de asidik çözeltilerde çözünmek için yüksek sıcaklık ve basınçlar gerektiren kromit içeriği değerlendirilmiştir. Manyetik alan şiddeti arttıkça manyetik olmayan fraksiyonun kromit verimi ve tenörü azalmış ve 10000 Gauss değerinin üstünde neredeyse sabit kalmıştır. Bu nedenle liç işleminde kullanılmak üzere 10000 Gauss manyetik alan şiddeti ile gerçekleştirilen manyetik ayırmaya

sonucu elde edilen manyetik olmayan malzeme biriktirilmiştir (Çizelge 3).

Kromit ve mangan içerikleri manyetik ayırmada sonucu oldukça azaltılırken demir içeriğinde çok yüksek bir giderim gerçekleşmemiştir. Bunun nedeninin; demirin antigorit mineralinin (Mg,Fe^{2+})- $3Si_2O_5(OH)_4$ kimyasal yapısında bulunmasından kaynaklandığı belirlenmiştir. Bu alan şiddetinde manyetik ayırcıya beslenen malzemenin ağırlıkça %54,63'ü manyetik olmayan kısımdan alınmıştır. Elde edilen manyetik kısımdaki Cr_2O_3 tenörü ise %5,6 olmuştur.



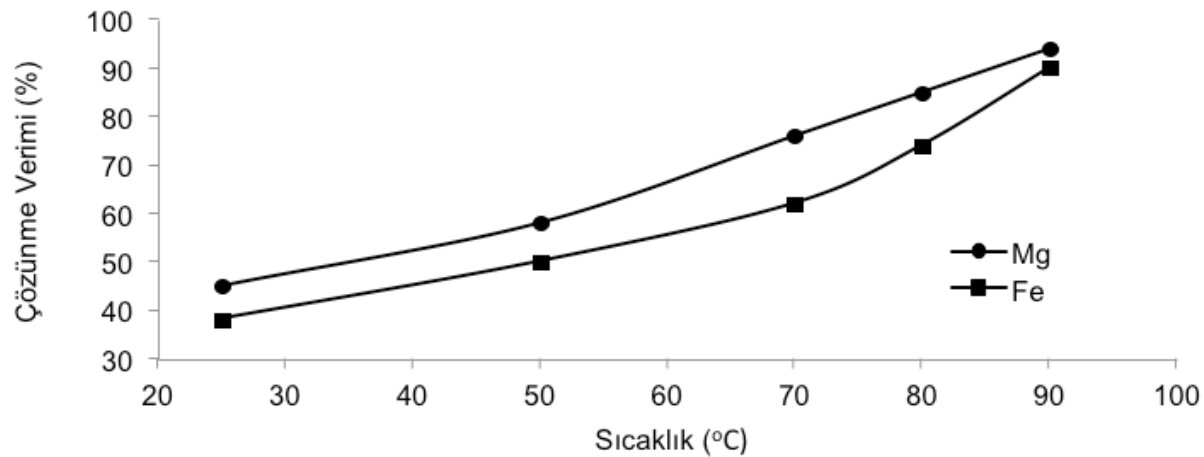
Şekil 4. Deneysel Çalışmanın Akım Şeması.



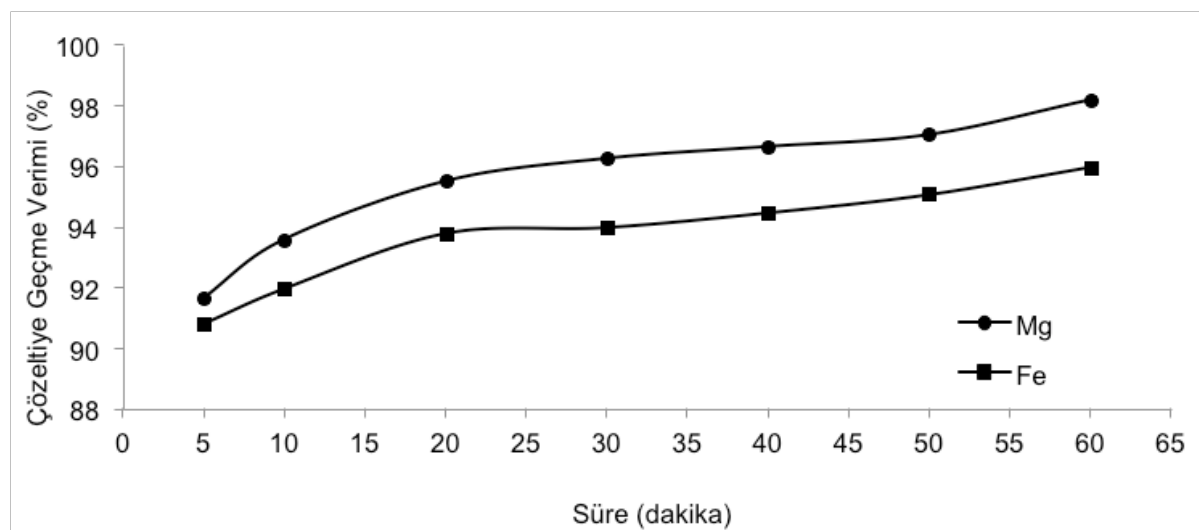
Şekil 5. Manyetik Alan Şiddetinin Manyetik Olmayan Fraksiyonun Kromit Tenörü ve Verimine Etkisi.

Çizelge 3. Manyetik Ayırma Sonucu Elde Edilen Manyetik Olmayan Fraksiyonun Kimyasal Analizi.

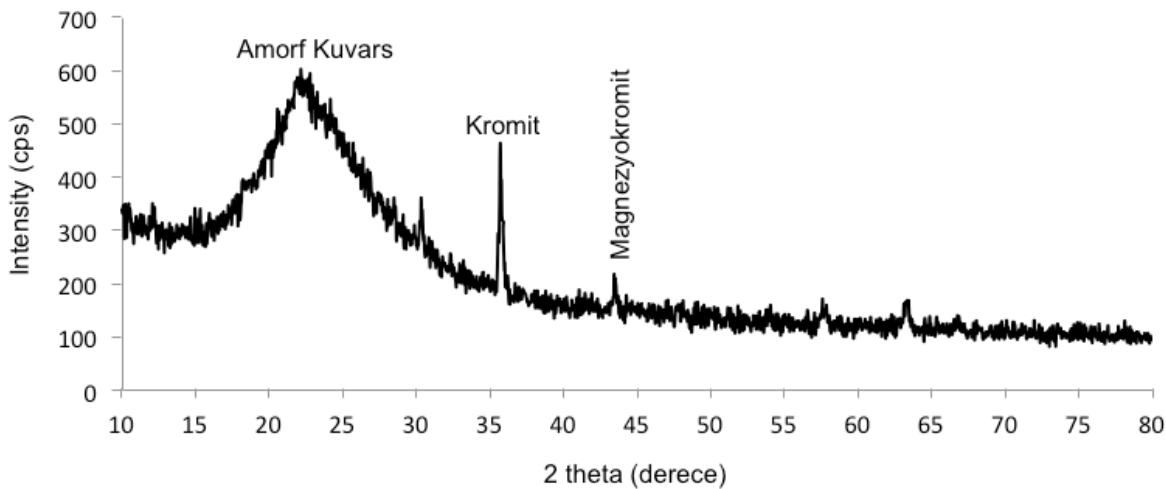
Bileşen	%
SiO_2	40,30
MgO	33,29
Fe_2O_3	8,01
Cr_2O_3	1,21
Al_2O_3	0,54
CaO	0,42
MnO	0,13
NiO	0,04
Kızdırma Kaybı	16,06



Şekil 6. Sıcaklığın Liç İşlemine Etkisi.



Şekil 7. Sürenin Liç İşlemine Etkisi.



Şekil 8. 40 Dakikalık Liç İşlemi Sonucu Elde Edilen Çözünmeyen Fraksiyonun XRD Patterni.

2.2. Liç

%10 katı oranı, 300 dev/dk karıştırma hızı, 7 Molar H_2SO_4 konsantrasyonu, 10 dakika karıştırma süresi ve atmosferik basınç sabit parametreler olarak belirlenerek öncelikle sıcaklığın liç işlemeye etkisi araştırılmış ve $90^\circ C$ sıcaklık uygun parametre olarak seçilmiştir (Şekil 6).

Sonrasında 7 molar H_2SO_4 , %10 katı oranı, 300 dev/dk karıştırma hızı, atmosferik basınç ve $90^\circ C$ sıcaklık değerleri sabit tutulmuş ve farklı sürelerde H_2SO_4 ile özütleme işlemi gerçekleştirılmıştır. Süre arttıkça magnezyum ve demirin çözeltiye geçme verimlerinin arttığı, 20 dakikadan sonra çözeltiye geçme verimlerindeki artışın oldukça azaldığı gözlenmiştir (Şekil 7). 40 dakikalık liç işlemi sonucu katı/sıvı ayırmından sonra elde edilen liç çözeltisi sonraki aşamada kullanılmak üzere ayrılmıştır. Katı kısmın XRD patterni, malzemenin büyük yoğunluğunun amorf kuvarstan olduğunu göstermektedir (Şekil 8). $2\theta=22,141$ değeriindeki yayılmış geniş pik değeri amorf kuvarsı temsil etmektedir (Zemnukhova vd, 2006; Javed vd., 2010). Katı/sıvı ayırması sonrası elde edilen katının kimyasal analizi Çizelge 4'te görülmektedir.

Çizelge 4. Katı Liç Kalıntısının Kimyasal Analizi.

Bileşen	SiO_2	Fe_2O_3	MgO	Cr_2O_3	Al_2O_3
%	95,75	0,89	0,59	2,69	1,21

2.3. pH Ayarlaması ile Çöktürme

Liç çözeltisinin pH'sı yükseltilerek liç çözeltisine geçen safsızlıkların giderilmesi amaçlanmıştır. Magnezyum ve kalsiyum iyonlarının yüksek pH'ta (pH 10-11) çökeldiği bilinmektedir (Harris

ve Peacey, 1992; Gladikova vd, 2008). Bu nedenle, çöktürmeden sonraki katı-sıvı ayırmı nesnesinde elde edilecek çözeltide kalsiyum ve magnezyum dışında safsızlıkların büyük yoğunluğunun giderilmiş olacağı öngörülmüştür. Liç çözeltisine katı $Mg(OH)_2$ eklenmiş ve çözelti pH'sı sürekli kontrol edilmiştir. pH 8'de katı-sıvı ayırmı gerçekleştirilmiş, elde edilen saflaştırılmış $MgSO_4$ çözeltisinin magnezyum miktarı belirlenmiştir (Çizelge 5). pH'ı yükseltilen çözeltide magnezyum miktarı 3 kat artmış; demir, mangan ve krom gibi safsızlıklar ise çöktürülerek katı metal hidroksitler şeklinde çözeltiden uzaklaştırılmıştır.

Çizelge 5. pH 8'de Katı/Sıvı Ayırmından Sonra Elde Edilen Saflaştırılmış $MgSO_4$ Çözeltisinin İçerikleri.

İçerik	Mg	Ca	Fe	Cr	Ni	Mn
mg/L	12570,00	90,00	-	-	1,82	5,40

2.4. Kristalizasyon

Saflaştırılmış $MgSO_4$ çözeltisi $90-100^\circ C$ 'de buharlaştırılmış ve katı formda kristalize $MgSO_4$ elde edilmiştir. Yapılan XRF analizi sonucu elde edilen bu malzemenin içeriği Çizelge 6'da verilmektedir. Yarı kalitatif XRF analizinde, analiz yapılan örneğin molekül formülünde bağlı olarak bulunan su (H_2O) ile C (Karbon) ve B (Bor) içeriğleri görülememekte, diğer elementler, oksitleri şeklinde miktar olarak analiz edilebilmektedir. Literatürdeki pik değerleri ile sentezlenen malzemenin Şekil 9'daki XRD analiz sonucu karşılaştırıldığında, elde edilen malzemenin sentetik epsomit minerali ($MgSO_4 \cdot 7H_2O$) olduğu saptanmıştır (Ferdous ve Podder, 2009; Anon(a), 2015; Anon(b), 2015).

Çizelge 6. Sentezlenen Mineralin XRF Analizi.

Bileşen	MgO	SO_3	CaO	MnO
%	21,30	77,83	0,66	0,01

SONUÇLAR ve TARTIŞMA

Bu çalışma ile kromit cevheri zenginleştirme tezisi artıklarından sentetik epsomit minerali sentezlenmesinin yanı sıra %95,75 SiO_2 tenörüne sahip amorf kuvars ve %5,6 Cr_2O_3 tenörlü manyetik ürün elde edilerek 3 ürünlü bir proses ortaya konmuştur.

Deneysel çalışma için numune sağlanan Aladağ Bölgesi'ndeki tesislerde kromit konsantrasyon tesislerine beslenen cevher %4-5 Cr_2O_3 'lere kadar düşmüştür. Bu yönyle incelendiğinde mevcut çalışmaya elde edilen %5,6 Cr_2O_3 tenörlü manyetik ürün, kromit konsantrasyon tesislerinde yeniden değerlendirilebilir bir ürünüdür.

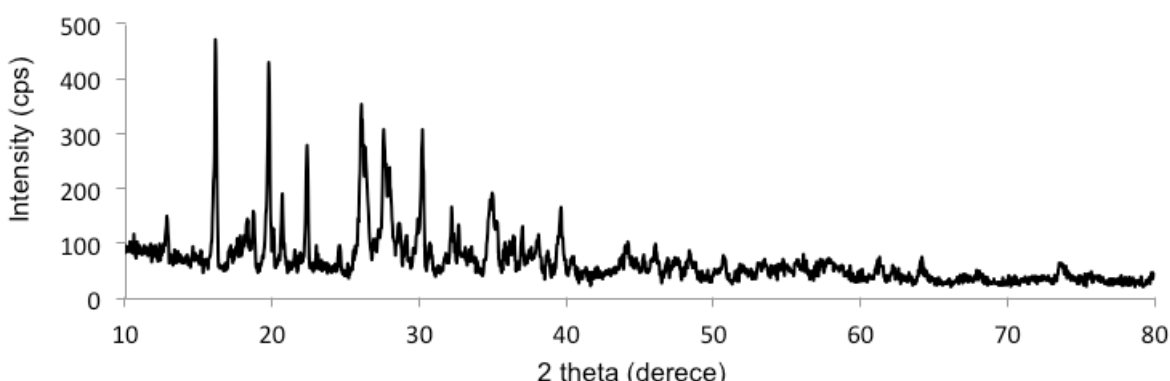
Liç aşamasında, atmosfer basıncında öztleme işlemi gerçekleştirildiğinden yüksek konsantrasyonda sülfürük asit kullanımına ihtiyaç duyulmuştur. Yüksek basınçlı liç işlemi gerçekleştirilebilirse, daha düşük asit konsantrasyonlarında daha yüksek çözünme verimleri elde edilebileceği düşünülmektedir. Bu şekilde yalnızca asit tüketimi değil, endüstriyel ölçekteki uygulamalarda yüksek asidite yüzünden oluşabilecek korozyon miktarları da azalacaktır. Deneysel çalışmanın pH ayarlaması ile safsızlıkların çöktürülmesi ve magnezyum sulfat çözeltisinin saflaştırılması aşamasında, liç çözeltisine katı formda $\text{Mg}(\text{OH})_2$ beslenmesi; çözeltinin MgSO_4 konsantrasyonunu ve dolayısıyla magnezyum miktarını artırmakla kalmayarak ortamda bulunabilecek serbest asit miktarını düşürmektedir. Yüksek basınçlı liç

işlemi uygulandığında bu aşamada kullanılacak $\text{Mg}(\text{OH})_2$ miktarı da azalacaktır.

Çözeltideki yabancı iyon miktarı arttıkça iyonların aktivitesi artmaktadır ve bu iyonları çöktürmek için daha çok OH^- iyonu ve daha yüksek pH gerekmektedir. Ancak endüstriyel uygulamalardaki kolaylık ve deneysel çalışma sırasında kullanılan musluk suyundan geçen safsızlık miktarının çözünen malzeme miktarına kıyasla çok az olması dolayısıyla, deneysel çalışmada saf su kullanılmamıştır. Yapılan analizler sırasında musluk suyundaki safsızlıklar analiz değerlerinden çıkarılmıştır. Öğütme sırasında çelik bilyalardan karışabilecek safsızlıklar, pH ayarlama ile çöktürme safhasında nihai ürünü ulaşmadan uzaklaştırılmıştır.

Liç işleminin ardından katı/sıvı ayrimıyla katı kısmda elde edilen ve kullanım alanları oldukça fazla olan amorf kuvarsta, fotovoltaik panellerin üretiminde büyük sorun oluşturan bor ve fosfor içeriğinin bulunmaması ürünün değerini artırmaktadır. Bu yanlarındaki kromit, demir oksit ve kilden gelen alüminyum içeriği manyetik ayırma veya ağır ortam ayırması ile giderilerek SiO_2 içeriği daha da artırılabilir.

Kromit cevheri zenginleştirme tesislerinde, azalan kromit kaynakları da göz önüne alınarak gün geçtikçe serbestleşme boyutu düşük olan cevherler işlenmeye başlanmaktadır ve bu işlem artık boyutlarının azalarak yüzey alanlarının artmasına neden olmaktadır. Artan yüzey alanı, liç işleminde verimi artıran faktörlerin başında gelmektedir. Bu tür artıkların yeniden değerlendirilmesi kaçınılmazdır. Bu artık ürün, Türkiye'de her kromit cevheri zenginleştirme tesisinde, tesislere yakın bölgelerde depolanmış halde bulunmakta ve kullanılmamaktadır. Çalışma ile yüksek magnezyum içeriğine sahip ve boyutları küçültülmüş



Şekil 9. Sentezlenen Epsomit Mineralinin XRD Patterni.

bu tür artık malzemelerin, kıymetli malzeme üretilebilecek bir kaynak olduğu ortaya konulmuştur.

TEŞEKKÜR

Yazarlar, numune sağlama ve artık miktarlarının hesaplanması sırasında yardımcılarından ötürü maden mühendisi Nabile Yıldız'a teşekkür eder.

KAYNAKLAR

- Abdelnabi, E.A., Kamel, M.M. ve Ali, A.E., 2012; "Nebulized Magnesium Sulphate versus Nebulized Salbutamol in Acute Bronchial Asthma", The Egyptian Society of Chest Diseases and Tuberculosis, 61, 29-34.
- Abou El-leef S.M., Abeidu A.M. ve Mahdy A.M.. 2012; "Utilization of Serpentine Ore for Production of Magnesium Sulphate", World Journal of Engineering and Pure and Applied Science, 2(2), 31-9.
- Anon(a), 2015; "Epsomite (Epsomit)", <http://www.mineralienatlas.de/lexikon/index.php/MineralData?mineral=Epsomit>
- Anon(b), 2015; "X-Ray Diffraction Table", <http://webmineral.com/MySQL/xray.php?ed1=4.21&minmax=2#.VWZGEtLtlVL>
- Ballou, B.J. ve Hanssen, K.O., 2000; "A Method for Isolation and Production of Magnesium Metal, Magnesium Chloride, Magnesite and Magnesium Based Products", International Application Published Under the Patent Cooperation Treaty (PCT), International Publication Number: WO 00/03044.
- Brandenburg, H.R., 1943; "Method of Producing Magnesium Sulphate", United States Patent Office (2384010).
- Bron, V.A., Stepanova, I.A. ve Kudryavtseva, T.N., 1967; "Effect of Degree of Serpentine Formation in Dunitic on Its Properties and Structure Change During Heating", Refractories, 8(9-10), 553-558.
- Demyanova, L.P., Tressaud, A., Buzare, J.Y., Martineau, C., Legein, C., Malovitski, Y.N. ve Rimkevich, V.S., 2009; "Properties of Amorphous Silica Generated by the Fluoride Method", Inorganic Materials, 45(2), 151-156.
- Dietrich, R.V., Skinner, B.J., 1979; "Rocks and Rock Minerals"; John Wiley and Sons Inc., New York, 51.
- Dijk, M.G.V., Olavarrieta, C.D., Zuniga, P.U., Gordillo, R.L., Gutierrez, M.E.R. ve Garcia S.G., 2013; "Use of Magnesium Sulphate for Treatment of Pre-eclampsia and Eclampsia in Mexico", International Journal of Gynecology and Obstetrics, 121, 110-114.
- Ferdous, S. ve Podder, J., 2009; "Growth and Characterization of Epsomite Single Crystals Doped with KCl from Low Temperature Aqueous Solutions", Journal of Bangladesh Academy of Sciences, 33(1), 47-54.
- Frey, D.D. ve Wang, H., 2006; "Adaptive One-Factor-at-a-Time Experimentation and Expected Value of Improvement", Technometrics, 48(3), 418-431.
- Gladikova, L.A., Teterin, V.V. ve Ovchinnikova, N.B., 2008; "Purification of Magnesium Chloride Solution Used for Carnallite Synthesis", Russian Journal of Applied Chemistry, 81(5), 883-885.
- Güney, A., Önal, G. ve Atmaca, T., 2001; "New Aspect of Chromite Gravity Tailings Re-processing", Minerals Engineering, 14(11), 1527-1530.
- Harris, G.B. ve Peacey, J.G., 1992; "Production of Pure Magnesium Chloride Solution from Siliceous Magnesium Minerals", United States Patent No: 5,091,161.
- Hidjan ve Soegijono, B., 2012; "Investigation of the Six Composites Based on Magnesium Sulfate as Acoustic Absorber Material", International Journal of Science and Research, 3(9), 205-209.
- Javed, S.H., Naaved, S., Feroze, N., Zafar, M. ve Shafaq, M., 2010; "Crystal and Amorphous Silica from KMnO₄ Treated and Untreated Rice Husk", Journal of Quality and Technology Management, VI(1), June, 81-90.
- Khattak, C.P., Joyce, D.B. ve Schmid, F., 2001; "Production of Solar Grade (SoG) Silicon by Refining Liquid Metallurgical Grade (MG) Silicon", National Renewable Energy Laboratory – Subcontractor Final Report".
- Macintire, W.H., 1940; "Process for Producing Anhydrous Magnesium Sulphate", United States Patent Office (2298493).
- MİGEM, 2011; "Aladağ İlçesi Madencilik Verileri", Derleme Rapor, Yayımlanmamış.
- Montgomery, D.C., 2009; "Design and Analysis of Experiments 7th Edition", John Wiley and Sons. 4.
- MTA, 2013; "Adana İli Maden ve Enerji Kaynakları", http://www.mta.gov.tr/v2.0/turkiye_maden/maden_potansiyel_2010/Adana_Madenler.pdf
- Neilsen, G.H. ve Neilsen D., 2011; "Consequences of potassium, magnesium sulphate fertilization of high density Fuji apple orchards", Agriculture and Agri-Food Canada, Pacific Agri-Food Research Centre, Summerland, British Columbia, Canada, 1013-1027.
- Rashad, M.M. ve Baioumy, H.M., 2005; "Chemical Processing of dolomite associated with the phosphorites for production of magnesium sulphate heptahydrate", The European Journal of Mineral Processing and Environmental Protection, 5(2), 174-183.

Rimkevich, V.S., Pushkin, A.A. ve Girenko, I.V., 2012; "Synthesis and Properties of Amorphous SiO₂ Nanoparticles", Inorganic Materials, 48(4), 355–360.

Top, S., 2014; "Adana/Aladağ Kromit Konsantrasyon Tesisi Artıklarından Karnalit Hazırlanması", Çukurova Üniversitesi Yüksek Lisans Tezi, 13-15.

Xakalashe, B.S. ve Tangstad, M., 2011; "Silicon Processing: from Quartz to Crystalline Silicon Solar Cells", Southern African Pyrometallurgy 2011, (Ed: Jones, R.T., Hoed, P.D.), Southern African Institute of Mining and Metallurgy, Johannesburg, 83-87.

Yıldırım, M. ve Akarsu, H., 2010; "Preparation of Magnesium Oxide (MgO) from Dolomite by Leach-Precipitation-Pyrohydrolysis Process", Physicochem. Probl. Miner. Process., 44, 257-272.

Zemnukhova, L.A., Egorov, A.G., Fedorishcheva, G.A., Barinov, N.N., Sokolnitskaya, T.A. ve Botsul, A.I., 2006; "Properties of Amorphous Silica Produced from Rice and Oat Processing Waste", Inorganic Materials, 42(1), 24–29.

Zengin, M., Gökmən, F., Yazıcı, M.A. ve Gezgin, S., 2009; "Effects of potassium, magnesium, and sulphur containing fertilizers on yield and quality of sugar beets (*Beta vulgaris L.*)", Turkish Journal of Agriculture and Forestry, 33, 495-502.

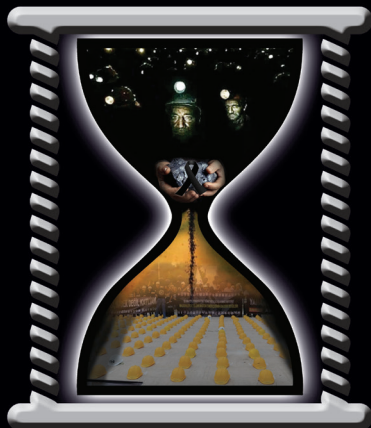
MADEN İŞLETMELERİNDE İŞÇİ SAĞLIĞI VE İŞ GÜVENLİĞİ SEMPOZYUMU'2015



TMMOB Maden Mühendisleri Odası
Adana Şubesi



ÇUKUROVA ÜNİVERSİTESİ
Maden Mühendisliği Bölümü



22-23 EKİM 2015
ÇUKUROVA ÜNİVERSİTESİ MİTHAT ÖZSAN AMFİSİ
ADANA



İLETİŞİM

TMMOB Maden Mühendisleri Odası Adana Şubesi
web : www.madenisg.org
e-posta : isg@madenisg.org
Tel. : 0 322 459 97 60 - 0 546 425 10 76
Faks : 0 322 459 97 61



 TMMOB
MADEN MÜHENDİSLERİ ODASI
İSTANBUL ŞUBESİ

VIII. DELME-PATLATMA SEMPOZYUMU

www.delpatsempozyumu.org

19-20 Kasım 2015, İstanbul

Steigenberger Maslak Hotel

ÖNEMLİ TARİHLER:	
15 Haziran 2015	: Özetterin Gönderilmesi
30 Haziran 2015	: Özetterin Kabul/Ret Sonucunun Yazara Bildirilmesi
31 Ağustos 2015	: Bildiri Tam Metnin Sempozyum Sekreteriğine Ulaştırılması
30 Eylül 2015	: Bildirilerin Kabul Edilip Edilmediğinin İlgili Yazara Bildirilmesi
20 Ekim 2015	: Düzeltilmiş Bildiri Metnlerinin Sempozyum Sekreteriğine Ulaştırılması
30 Ekim 2015	: Bildiriler Kitabının Başkıya Sunulması

İletişim:
Büyükdere Cad. Çınar Apt. No:95 K:8 D:31 Mecidiyeköy İstanbul
Tel: 0212 356 7410, delpat@delpatsempozyumu.org, istanbul@maden.org.tr

20

TÜRKİYE 20. KÖMÜR KONGRESİ

04-06 Mayıs 2016

Zonguldak / Türkiye

20th COAL CONGRESS OF TURKEY

04-06 May 2016

Zonguldak / Turkey

TMMOB

Maden Mühendisleri Odası
Zonguldak Şubesi

UCTEA

Chamber of Mining Engineers
Zonguldak Branch



BİRİNCİ DUYURU

FIRST
ANNOUNCEMENT

